

# تحقیق پارامترهای مؤثر در شبیه‌سازی عددی جریان غیر کاویتاسیونی و کاویتاسیونی حول پروانه‌ی استاندارد DTMB۴۱۱۹

احمدرضا ابوبی<sup>\*</sup> (کارشناس ارشد)

سعید خودمند (استادیار)

دانشکده هندسی مکانیک، دانشگاه صنعتی مالک اشتر

مهمشی مکانیک شفف، (پیاپی ۱۳۹۵) ۱۱۸-۱۱۹، ۱، ص. ۲۲-۳۲، دوری ۳

در این نوشتار جریان‌های غیر کاویتاسیونی و کاویتاسیونی حول پروانه‌ی دریابی DTMB۴۱۱۹ با روش RANS سه بعدی حل شده است. ضرایب تراست، گشناور و بازدهی نیز برای این پروانه در هشت شبیه‌سازی استخراج و با تابع تجزیب مقایسه شد. الگوی کاویتاسیون مشخص شد و موقعیت و منطقه‌ی توسعه‌ی حفره نیز به دست آمد. به علاوه، تحقیقات عددی برای سه پارامتر مهم: ضریب پیشروی، عمق کاری پروانه و زبری سطح پروانه در جریان کاویتاسیونی انجام شد. مطالعه‌ی اثر ضریب پیشروی روی سطوح پروانه نشان داد که با ضریب پیشروی کمتر، مقدار فاز بخار بیشتری مشاهده می‌شود. با پایین بردن عمق کاری پروانه در شرایط آب آزاد (افزایش فشار هیدروستاتیک)، جایه‌جایی محدوده‌ی حفره، تغییرات حجم حفره در نزدیکی لبه‌ی حمله، و کاهش قله‌ی منحنی کسر حجمی فاز بخار مورد بررسی قرار گرفت. همچنان، افزایش ارتفاع زبری تا مقدار معینی، باعث کاهش مقدار کسر حجمی فاز بخار شد و پس از آن رشد کرد.

ahmadreza.ayoobi@gmail.com  
kheradmand@mut-es.ac.ir

واژگان کلیدی: جریان کاویتاسیونی، عمق کاری پروانه، ارتفاع زبری سطح، مرز حفره.

## ۱. مقدمه

جدید، جریان‌های پیچیده‌تری را اطراف این پیشرانه‌ها مطرح می‌کند و سختی‌های زیادی را برای بررسی و طراحی پیشرانه‌ی شناورها و تحلیل آن‌ها به وجود می‌آورد. تحلیل و بررسی پروانه‌ی طراحی شده در شرایط معمولی و بحرانی به منظور ارزیابی این پیچیدگی‌ها و عکس‌العمل پروانه در تحقیق ملزومات طراحی ضروری است. در سال‌های اخیر برای بررسی و مدل‌سازی جریان و شبیه‌سازی کاویتاسیون روی پروانه از روش‌های متفاوتی از قبیل پنل،<sup>[۱]</sup> المان مرزی<sup>[۲]</sup> و کدهای RANS<sup>[۳]</sup> استفاده شده است. در یک تحقیق آزمایشگاهی که روی جریان آرام و مغشوش در نزدیکی یک پره پروانه و با استفاده از لیزر داکلر ولوسیمتری<sup>۱</sup> انجام شد،<sup>[۴]</sup> اندازه‌گیری جزئیات جریان برای تعیین خصوصیات لزجت نسبت به نظریه‌ی کلاسیک پتانسیل، نشان داد که گذر به اغتشاش لایه‌های مرزی به‌آرامی در لبه‌ی حمله در وسط وتر پره رخ می‌دهد و نیز لایه‌ی مرزی جریان وسط محدوده<sup>۲</sup> با رفتار دوبعدی معمولی شbahat دارد. از سوی دیگر تحقیق درخصوص برهمکشش لزج - غیرلزج<sup>۳</sup> برای پیش‌بینی اثر لزجت روی عملکرد پیشرانه‌های غیر کاویتاسیونی و کاویتاسیونی<sup>[۵]</sup> با استفاده از پیوند پتانسیل کم مرتبه‌ی سه بعدی مبتنی بر روش المان مرزی و روش تحلیلی لایه‌ی مرزی انتگرالی دو بعدی مبتنی بر فرض نظریه‌ی نواری برای شبیه‌سازی انجام شد. بدین منظور از مدل نفوذ دیواره برای پیوستن جریان خارجی غیر لزج با جریان‌های لایه‌ی مرزی داخلی استفاده شد و جریان‌های

پیچیده کاویتاسیون به لحاظ رفتار ناخوشایند و نیز بروز آن در زمینه‌های متفاوت -- از زیردریا<sup>[۶]</sup> تا راکت‌های فضایی<sup>[۷]</sup> و حتی در بدن انسان<sup>[۸]</sup> -- برای طراحان و محققان، همیشه نگران‌کننده بوده است. عموماً طبیعت کاویتاسیون شامل رشد دوره‌ی و ترکیدن حفره‌ها، ایجاد نویز<sup>[۹]</sup> نوسان فشار روی بدن و نیروهای لرزشی روی شفت پروانه<sup>[۱۰]</sup> است. بسته به شرایط کاری -- نظری سرعت شناور، عمق غوطه‌وری و سرعت دورانی پروانه، شرایط مانور شناور و غیره -- پروانه اندواع متفاوتی از کاویتاسیون، از قبیل کاویتاسیون لایه‌ی، حبابی، ابری، پیچشی نوک پره و پیچشی هاب را تجربه می‌کند. بروز فروپاشی حفره‌ی باعث ایجاد فشار شدید در نزدیکی پره پروانه و همچنین روی وسایل هیدرودینامیکی دیگر (مثل سکان) در پایین دست آن می‌شود. این فشارها اغلب منجر به چاله‌کنی و سایش جدی روی پره پروانه و سکان<sup>[۱۱]</sup> می‌شود. به علاوه، نوسانات فشار بیش از اندازه روی بدن می‌تواند موجب نویز و حتی شکست قطعات بدن شود.

برای برآوردن نیازمندی‌هایی چون: عملکرد خوب (کارایی بالا)، راحتی (مقدار نویز و لرزش کم)، امنیت و بهره‌داری اقتصادی (سایش کم تر) پیشرانه‌های دریابی با هندسه‌های پیچیده‌تر طراحی می‌شوند. پیچیدگی مشخصات هندسی پیشرانه‌های

\* نویسنده مسئول

تاریخ: دریافت ۹/۷/۱۳۹۳، اصلاحیه ۱۸/۱۲/۱۳۹۳، پذیرش ۱۵/۱/۱۳۹۴.



جدول ۱. ثابت‌های مدل اغتشاشی  $\epsilon - k \cdot k$ 

ثابت	مقدار
$C_{1\varepsilon}$	$1/44$
$C_{2\varepsilon}$	$1/93$
$C_\mu$	$0.09$
$\sigma_k$	$1/0$
$\sigma_\varepsilon$	$1/3$

فازها در روش حاضر استفاده می‌شود. این معادلات با به کارگیری اطلاعات تجربی در رابطه‌های ترکیبی بسته می‌شوند. معادله‌ی پوستگی جریان کاویتاسیونی عبارت است از:

$$\frac{\partial \rho_m}{\partial t} + \nabla \cdot (\rho_m \vec{v}_m) = 0 \quad (5)$$

که در آن اندیس  $m$  مربوط به آن متغیر در مدل مخلوط است. معادله‌ی مومنت برای حل جریان کاویتاسیونی با جمع معادلات جداگانه‌ی فاز به دست می‌آید. بنابراین معادله‌ی آن را می‌توان چنین نوشت:

$$\begin{aligned} \frac{\partial(\rho_m \vec{v}_m)}{\partial t} + \vec{v}_m \cdot \nabla \rho_m \vec{v}_m &= -\nabla p + \mu_m \nabla^\tau \vec{v}_m + F \\ &+ \nabla \cdot \left( \sum_{k=1}^n \alpha_k \rho_k \vec{v}_{dr,k} \vec{v}_{dr,k} \right) \end{aligned} \quad (6)$$

که در آن  $p$  نشان‌گر فشار بر حسب پاسکال و  $\alpha_k$  کسر حجمی فاز  $k$  است. سرعت متوسط جرمی، چگالی مخلوط، لزحت مخلوط و سرعت رانش فاز  $k$  به ترتیب براساس رابطه‌های ۷ تا ۱۰ تعریف می‌شوند:

$$\vec{v}_m = \frac{\sum_{k=1}^n \alpha_k \rho_k \vec{v}_k}{\rho_m} \quad (7)$$

$$\rho_m = \sum_{k=1}^n \alpha_k \rho_k \quad (8)$$

$$\mu_m = \sum_{k=1}^n \alpha_k \mu_k \quad (9)$$

$$\vec{v}_{dr,k} = \vec{v}_k - \vec{v}_m \quad (10)$$

در رابطه‌ی ۱۰،  $\vec{v}_k$  سرعت فاز  $k$  است. انتقال جرم بین دو فاز مایع و بخار با معادله‌ی مدل کامل کاویتاسیون پیشنهادی سینگ‌هال [۱۴] تعریف می‌شود:

$$\frac{\partial(\rho_m f)}{\partial t} + \nabla \cdot (\rho_m \vec{v}_m f) = \nabla \cdot (\gamma \nabla f) + R_e - R_c \quad (11)$$

که در آن  $f$  کسر حجمی فاز بخار،  $\vec{v}_m$  بردار سرعت فاز بخار و  $\gamma$  ضریب معاوضه‌ی مؤثر است. با در نظر گیری معادله‌ی کاهش یافته‌ی راپلی - پلست<sup>۷</sup> و روش سینگ‌هال<sup>۸</sup> مبنی بر پیشنهاد بودن قطر حباب نمونه، پارامترهای  $R_e$  و  $R_c$  با رابطه‌های ۱۲ و ۱۳ به ترتیب با عنوان‌های نخ تولید بخار و چکالش تعریف می‌شوند:

$$R_e = \frac{c_e \sqrt{k_t}}{\sigma_s} \rho_l \rho_v \sqrt{\frac{2(p_v - p)}{3\rho_l}} (1 - f_v - f_g), \quad p \rangle p_v \quad (12)$$

$$R_c = \frac{c_c \sqrt{k_t}}{\sigma_s} \rho_l \rho_v \sqrt{\frac{2(p - p_v)}{3\rho_l}} f_v, \quad p \langle p_v \quad (13)$$

عملکرد) و جزئی (ضریب فشار) این شبیه‌سازی استخراج و با داده‌های آزمایشگاهی موجود [۱۴] اعتبارسنجی شده که تطبیق نسبتاً خوبی به دست آمد. شبیه‌سازی عددی کاویتاسیون با استفاده از مدل کاویتاسیون کامل سینگ‌هال [۲۴] در عدد کاویتاسیون [۱۵] ۱۰۰ حول این پروانه انجام، و با استفاده از پارامتر ضریب فشار با نتایج سان [۱۶] اعتبارسنجی شده که حاصل مقایسه‌ها رضایت‌بخش بود. همچنین پارامترهای مرتبه با پدیده‌ی کاویتاسیون استخراج شد. در این تحقیق بررسی اثرات سه پارامتر مهم -- شامل ضریب پیشروی، عمق کاری پروانه و زبری سطح پروانه -- در موضوع کاویتاسیون با بررسی نقطه به نقطه و لحاظ کردن عکس العمل‌های ضریب فشار انجام گرفت. مشخصات حفره از قبیل حجم، موقعیت مرکز حفره و جایه‌جایی‌های آن متأثر از پارامترهای تحت بررسی در شرایط متفاوت با نمودارهای مربوطه مورد بحث و مقایسه قرار گرفت. به علاوه، رابطه‌ی پیشنهادی در موضوع کاویتاسیون [۱۷] برقرار شد.

## ۲. معادلات حاکم

برای شبیه‌سازی جریان سیال با روش دینامیک سیالات محاسباتی، از معادلات بقاء جرم، ناویر - استوکس [۱۸] و نیز معادلات اغتشاشی  $\epsilon - k$  [۱۹] استفاده می‌شود. معادله‌ی بقاء جرم یا معادله‌ی پوستگی عبارت است از:

$$\frac{\partial \rho}{\partial t} + \nabla \cdot (\rho \vec{v}) = 0 \quad (1)$$

در این رابطه  $\rho$  معرف چگالی با واحد کیلوگرم بر متر مکعب و  $\vec{v}$  بردار سرعت بر حسب متر بر ثانیه است. بقاء حرکت در دستگاه مرجع اینرسی معروف به معادلات ناویر - استوکس [۱۹] است:

$$\frac{\partial(\rho \vec{v})}{\partial t} + \vec{v} \cdot \nabla \rho \vec{v} = -\nabla p + \mu \nabla^\tau \vec{v} + F \quad (2)$$

که در آن  $\mu$  معرف لزجت دینامیکی بر حسب متر مربع بر ثانیه، و  $F$  نیروهای خارجی است. برای شبیه‌سازی اثر اغتشاشات در این تحقیق از مدل استاندارد  $\epsilon - k$  [۲۷] استفاده شده است. این مدل به عنوان یک مدل کاربردی دومعادله‌یی در شبیه‌سازی‌های اخیر محققین کاربرد فراوان داشته است. از [۲۸-۲۹] انرژی جنبشی اغتشاشی و نخ اندیف آن از رابطه‌های ۳ و ۴ به دست می‌آید:

$$\frac{\partial(\rho k_t)}{\partial t} + \nabla \cdot (\rho k_t) = \nabla \cdot \left[ \left( \mu_{lam} + \frac{\rho v_t}{\sigma_k} \right) \nabla k_t \right] + \rho v_t G - \rho \varepsilon \quad (3)$$

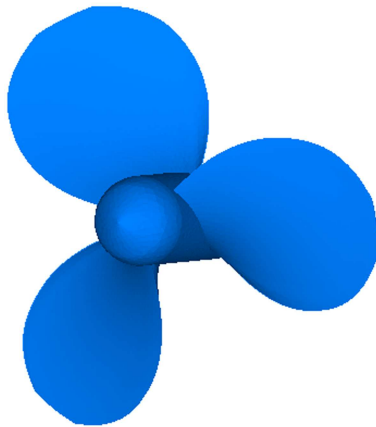
$$\begin{aligned} \frac{\partial(\rho \varepsilon)}{\partial t} + \nabla \cdot (\rho \varepsilon \vec{v}) &= \nabla \cdot \left[ \left( \mu_{lam} + \frac{\rho v_t}{\sigma_\varepsilon} \right) \nabla \varepsilon \right] + C_{1\varepsilon} \rho v_t G \frac{\varepsilon}{k_t} \\ &- C_{1\varepsilon} \rho \frac{\varepsilon}{k_t} \end{aligned} \quad (4)$$

در این رابطه‌ها،  $k_t$  انرژی جنبشی اغتشاشی،  $v_t$  عبارت کمک‌گراف - پرانتل،  $G$  نخ تولید اغتشاش، و  $\varepsilon$  نخ اندیف انرژی جنبشی است. مقدار ثابت‌های این مدل در جدول ۱ آمده است.

در تحقیق حاضر برای شبیه‌سازی جریان کاویتاسیونی حول پروانه از روش اویلری - اویلری استفاده می‌شود. در این روش، فازهای بخار و مایع به وسیله‌ی معادلات ریاضی به صورت درهم نفوذی پوسته مدل‌سازی می‌شوند. از آنجاکه حجم یک فاز نمی‌تواند با دیگر فازها اشغال شود، مفهوم فیزیکی کسر حجمی معرفی می‌شود. کسرهای حجمی توابع پوسته‌یی از زمان و مکان فرض می‌شوند که جمع آنها برابر با واحد است. بنابراین، از مجموعه معادلاتی با ساختار مشابه برای تمام

جدول ۲. مشخصات هندسی پروانه DTMB۴۱۱۹<sup>[۳۶]</sup>.

مقدار پارامتر	پارامتر پروانه
۰,۳۰۴۸	قطر (متر)
۳	تعداد پره
۰	ریک
۰	زاویه اسکیو
NACA ۰۰۶۶ a = ۰,۸	قطع پره



شکل ۱. نمایی از پروانه DTMB۴۱۱۹<sup>[۳۶]</sup>.

که در آن  $k v$  برابر ثابت ون کارمن با مقدار ۰,۴۱۸۷ است.  $f_r$  تابع زیری است که تعیین کننده کمیت غییر رهگیری ناشی از اثرات زیری است. این رابطه تابع زیری را در محاسبه سرعت متوسط نزدیک دیوار با برآورد ارتفاع زبری های تحت سه رژیم تأثیر می دهد: ۱. رژیم صاف هیدرودینامیکی  $k^+ \leq ۰,۲۵$ . ۲. رژیم گذار  $k^+ \leq ۰,۲,۰,۲۵$ . ۳. رژیم کاملًا زیر  $k^+ \geq ۰,۹۰$ . برای تشخیص نوع رژیم جریان، از پارامتر بی بعد زبری براساس رابطه ۲۲ استفاده می شود:

$$k^+ = \rho k_s u^* / \mu \quad (22)$$

که در آن  $k_s$  ارتفاع فیزیکی زبری است.  $u^*$  نیز با رابطه ۲۳ به دست می آید:

$$u^* = c_\mu^{۰,۲۵} k v^{۰,۷} \quad (23)$$

عدد ۱ نمای شماتیک پروانه ثبت شده است. در این تحقیق برای هندسه پروانه، از مدل استاندارد DTMB۴۱۱۹<sup>[۳۶]</sup> استفاده شده است. مشخصات این پروانه در جدول ۲ ارائه شده است. همچنین در

شکل ۱ نمای شماتیک پروانه ثبت شده است.

### ۳. تحلیل نتایج

#### ۳.۱. اعتبارسنجی روش عددی

#### ۳.۱.۱. حل جریان غیر کاویتاسیونی

به منظور اعتبارسنجی روش عددی مورد استفاده، پروانه DTMB۴۱۱۹ با شرایط آزمایش (ضریب پیشروی و سرعت دورانی) مرجع مورد نظر شبیه سازی شده است. برای اعتبارسنجی نتایج این شبیه سازی، از نتایج چسبوپ<sup>[۱۴]</sup> استفاده شد. فشار

$c_c$  و  $c_e$  به ترتیب ثابت های تجربی با مقدارهای ۰,۰۱ و ۰,۰۰ هستند.  $\sigma_s$  ضریب کشش سطحی،  $p_v$  فشار بخار،  $\rho_1$  و  $\rho$  به ترتیب مربوط به چگالی فاز مایع و بخار است.

معادلات حاکم با روش حجم محدود<sup>[۳۲]</sup> گستته شده است. از روش SIMPLE برای کوپل سرعت - فشار استفاده شد. مقادیر گستته ی یک مقدار اسکالار در مرکز سلول ذخیره می شود. زمانی که مقادیر صفحه بی یک مقدار اسکالار برای عبارات جابه جایی در معادلات نیاز باشد، از مراکز سلول ها برونویابی می شوند. در این تحقیق از روش اختلاف محدود بالا دست<sup>۸</sup> استفاده شده است. وقتی دقت مرتبه دوم مطلوب باشد، کمیت ها را در صفحه سلول ها با استفاده از روش نوسازی خطی چند بعدی<sup>[۳۳]</sup> محاسبه می کنند. در این روش، دقت مرتبه بالاتری در صفحه های سلول ها با بسط سری تیلور برای حل مرکزی سلول ها حول مرکز سلول به دست می آید. از روش اختلاف محدود بالا دست مرتبه دوم برای معادله ای بیوستگی، مومنتوم و مدل اغتشاشی استفاده شد و برای معادله ای انتقال جرم (فاز بخار) نیز از روش اختلاف محدود بالا دست مرتبه اول بهره گرفته شد. همچنین عبارات جابه جایی، به صورت اختلاف مرکزی با دقت مرتبه دوم گستته شده اند. برای پارامتر فشار در جریان های غیر کاویتاسیونی و کاویتاسیونی به ترتیب از روش استاندارد و روش مرتبه دوم استفاده شده است.

از میان طیف گسترده ای پارامترهای عملکردی پروانه<sup>[۳۴]</sup> در تحقیق حاضر از پارامترهای ضریب پیشروی، ضریب نیروی جلوبرنده، ضریب گشتاور و ضریب بازدهی استفاده شده است. این پارامترها را به ترتیب براساس رابطه های ۱۷-۱۴ تعریف می کنند:

$$J = \frac{v_a}{ND} \quad (14)$$

$$k_t = \frac{T_{th}}{\rho N^4 D^4} \quad (15)$$

$$k_q = \frac{Q}{\rho N^4 D^5} \quad (16)$$

$$\eta = \frac{k_t}{k_q} \frac{J}{2\pi} \quad (17)$$

در این رابطه ها،  $v_a$  سرعت پیشروی،  $N$  سرعت دورانی،  $D$  قطر پروانه،  $T_{th}$  نیروی تراست، و  $Q$  گشتاور پروانه است. برای محاسبه ضریب فشار پروانه DTMB۴۱۱۹ از رابطه ۱۸ برای هر مقطع استفاده می شود:

$$c_p = \frac{p_{abs} - p_\infty}{\frac{1}{\tau} \rho v_a^2 (1 + (\frac{\pi R_r}{J})^2)} \quad (18)$$

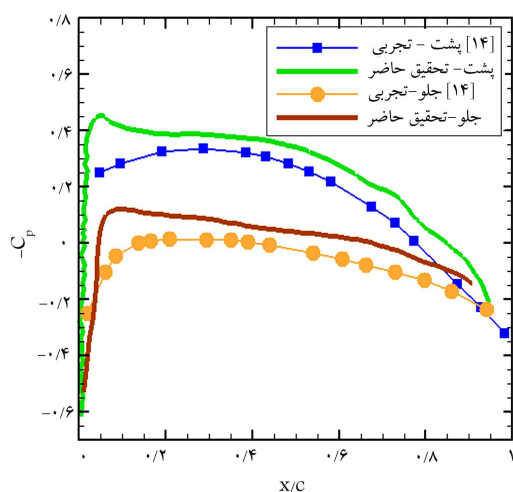
که در آن  $p_{abs}$  و  $p_\infty$  به ترتیب فشارهای مطلق و کاری، و  $R_r$  نسبت شعاع در پره است. رابطه تعریفی عدد کاویتاسیون و رابطه تشخیص شروع کاویتاسیون در تحقیقات عددی<sup>[۳۴]</sup> به ترتیب عبارت اند از:

$$\sigma = \frac{p_\infty - p_v}{\frac{1}{\tau} \rho v_a^2} \quad (19)$$

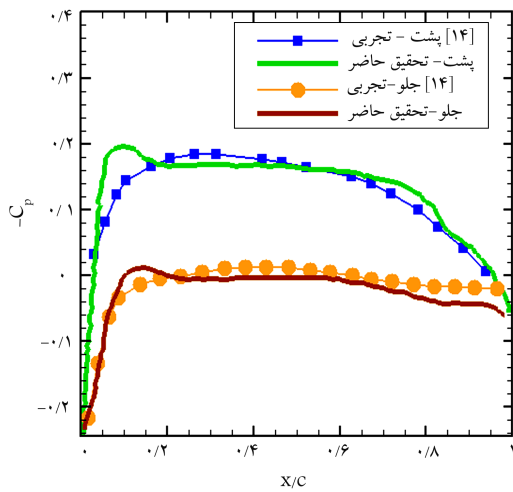
$$\sigma_{vi} = -C_p \quad (20)$$

پارامتر  $\sigma$  عدد آغاز کاویتاسیون است. شبیه سازی جریان در نزدیکی سطوح پروانه با استفاده از توابع پیشنهادی دیوار<sup>[۲۵]</sup> انجام می گیرد. در این تحقیق برای بررسی اثر زبری سطح پروانه از قانون اصلاح شده دیوار استفاده می شود. برای دیدن اثر زبری، تابع ۲۱ به قانون لگاریتمی اضافه می شود:

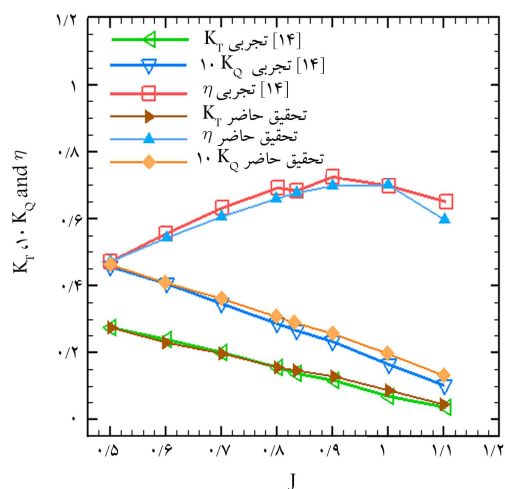
$$\Delta B = \frac{1}{kv} \ln f \quad (21)$$



شکل ۲. توزیع ضریب فشار برای مقطع  $0^{\circ}$  شعاع برای ضریب پیشروی  $0,833^0$  در شرایط آزمون آزاد.



شکل ۳. توزیع ضریب فشار برای مقطع  $0^{\circ},7$  شعاع برای ضریب پیشروی  $0,833^0$  در شرایط آزمون آزاد.



شکل ۴. مقایسه‌ی نتایج ضرایب تراست، گشتاور و بازدهی  $7^{\circ}$  شیوه‌سازی در مقابل داده‌های آزمایشگاهی. [۱۴]

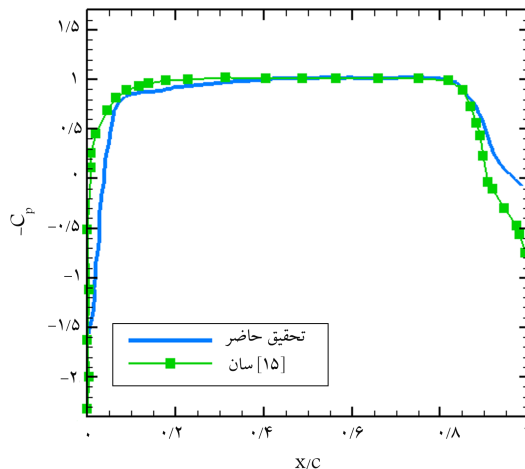
اتمسفر برابر  $10,1325^0$  پاسکال، چگالی آب خالص برابر  $998,2$  کیلوگرم بر متر مکعب، و ضریب پیشروی معادل  $0,833^0$  در نظر گرفته شد. در این شبیه‌سازی از تعداد  $181860^4$  شبکه‌بندی بی‌ساختار استفاده شده است. برای استخراج داده‌های ضریب فشار از مقطع  $0^{\circ},3$  و  $0^{\circ},7$  شعاع پره استفاده شد و سپس نتایج حاضر با نتایج آزمایش چسوب [۱۴] مقایسه شد. در شکل‌های ۲ و ۳ مقایسه‌ی تحقیق حاضر با نتایج آزمایشگاهی برای مقطع  $0^{\circ},3$  و  $0^{\circ},7$  شعاع نشان داده شده است. در مقطع  $0^{\circ},3$ ، حل عددی حاضر داده‌های بزرگ‌تر را نسبت به مقطع  $0^{\circ},7$  تخمین زده است. مقطع  $0^{\circ},3$  نزدیک به هاب پروانه است و اثرات لایه‌ی مرزی -- به علت ضخامت بلندتر پروفایل‌ها -- مشهودتر است؛ همچنین به سبب جریان عرضی که نقش مهمی در این ناحیه دارد، تخمین فشار نقطه‌ی بی‌پیشرور از مقدار تجربی به دست آمده است. با استفاده از نزدیک به هاب پروانه انتهاهای لبه‌ی برش کوچکی ایجاد شده که در تحقیقات دیگر محققینی که از این روش استفاده کرده‌اند [۲۷] نیز مشاهده می‌شود. روش حاضر (RANS) به اندازه‌ی کافی اثر ضخامت لایه‌ی مرزی جای‌گیری روی توزیع فشار ناحیه‌ی نزدیک به لبه‌ی فرار را نزدیک به جریان واقعی نشان نداده است. این روش سرعت‌های جریان عرضی قوی بیرونی (عنی مؤله‌های سرعت شعاعی بیرونی بزرگ) را تخمین می‌زند. این اثرات می‌تواند ناشی از ضخامت ناگهانی لایه‌ی مرزی در لبه‌ی فرار پره باشد که جریان چسیده را مجبور به خمش و اجتناب از این ناحیه کم انرژی می‌کند. این پدیده با رفتار ضریب اصطکاک روی پره تأیید می‌شود.

در نهایت، ضرایب مهم پروانه از قبیل ضریب تراست، ضریب گشتاور و ضریب بازدهی برای این پروانه با انجام  $7^{\circ}$  شبیه‌سازی در گستره‌ی ضریب پیشروی از  $0,5^0$  تا  $1,1^0$  در شرایط آزمون آزاد، با نتایج آزمایشگاهی چسوب [۱۴] مقایسه شد (شکل ۴). چنان که مشاهده می‌شود، قله‌ی منحنی بازدهی با افزایش نسبت گام به قطر به مقدار بزرگ‌تر ضریب پیشروی انتقال می‌یابد. همچنین با افزایش نسبت گام به قطر، قله‌ی منحنی بازدهی به مقدار بیشتر صعود می‌کند. در پروانه‌ی مورد تحقیق نقطه‌ی طراحی ضریب پیشروی  $0,833^0$  است.

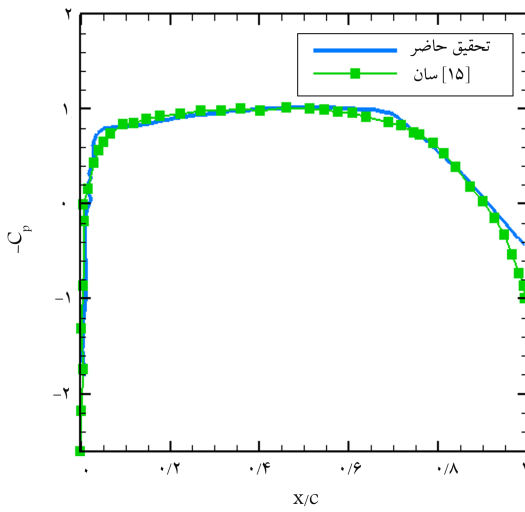
هر شبیه‌سازی با داده‌های اولیه متفاوت (سرعت پیشروی‌های متفاوت متناسب با ضریب پیشروی) داده شده است. این داده‌ها نشان‌گر مطابقت روند طی شده با نتایج چسوب [۱۴] است. در زاویه حمله‌های بزرگ که معادل ضریب پیشروی‌های کوچک‌تر یا بازگذاری سنگین است، نتایج عددی بسیار نزدیک به داده‌های تجربی است.

### ۲.۱.۳ حل جریان کاویتاسیونی

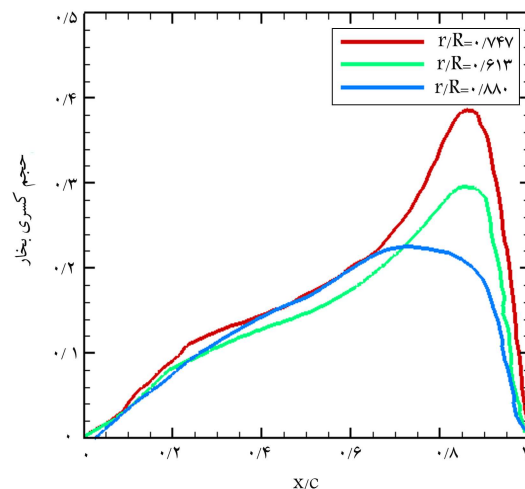
یکی از مسائل اصلی در پروانه‌ای تحت کاویتاسیون، کاهش تراست است. در ضریب پیشروی ثابت، عدد آغاز کاویتاسیون با افزایش نسبت گام به قطر ارتقاء می‌یابد؛ برای این تحقیق عدد کاویتاسیون  $0,02$  انتخاب شده است. به طور کلی، رفتار یک حفره تابعی از بازگذاری و عدد کاویتاسیون لایه‌ی بر صفحه‌ی جلو و پشت پره‌ها از نوک پره شروع می‌شود و با کاهش عدد کاویتاسیون به سمت شعاع‌های کم تر پیش می‌رود. روش حاضر (RANS) طول حفره را در راستای شعاعی بیشتر تخمین می‌زند. [۲۸] که می‌تواند به علت کاویتاسیون نواری باشد که از لبه‌ی حمله شروع می‌شود و تشخیص آن از کاویتاسیون لایه‌ی در روش عددی بسیار سخت است. [۲۹] برای اعتبارسنجی صحت این شبیه‌سازی در شرایط کاویتاسیونی از نتایج پیشنهادی [۱۵] استفاده شده و ضریب فشار حاصله در این شبیه‌سازی در سه مقطع پره با آن نتایج مقایسه شده است. نتایج بررسی این پدیده مطابقت خوبی را نشان می‌دهد. با استفاده از مدل مخلوط جریان‌های دوفازی، برای شرایط آزمون آزاد، عدد کاویتاسیون  $1,0^0$  و در ضریب پیشروی  $0,833^0$  این شبیه‌سازی انجام



شکل ۷. توزیع ضریب فشار در مقطع  $747^{\circ}$  شاعع، برای ضریب پیشروی  $833^{\circ}$  و عدد کاوتاسیون  $2^{\circ}$ .



شکل ۸. توزیع ضریب فشار در مقطع  $88^{\circ}$  شاعع، برای ضریب پیشروی  $833^{\circ}$  و عدد کاوتاسیون  $2^{\circ}$ .

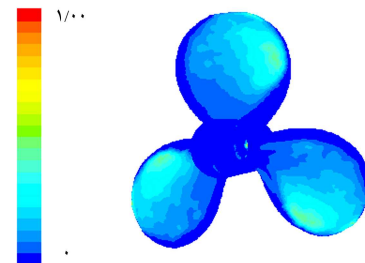


شکل ۹. نمودار حجم بخار برای ضریب پیشروی  $833^{\circ}$  عدد کاوتاسیون  $2^{\circ}$ .

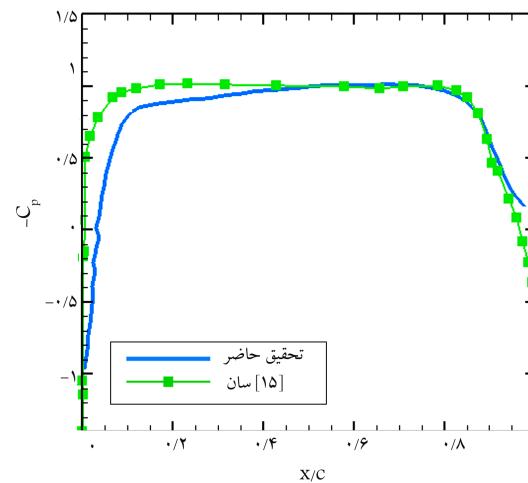
شده است. در شکل ۵ تصویر سه بعدی تشکیل فاز بخار روی صفحات پشت پروانه نشان داده شده است.

در شکل های ۶ تا ۸ ضریب فشار روی صفحه هی پشت پروانه با سطح مکش که در آن بیشتر کاوتاسیون لایه بی شکل می گیرد، به ترتیب برای مقطع های  $613^{\circ}$ ،  $747^{\circ}$  و  $880^{\circ}$  شاعع نشان داده شده که حدوداً مرزهای محیطی تشکیل خواهند. در این نمودارها، منفی ضریب فشار به عدد  $102^{\circ}$  نزدیک شده است. در شکل ۶ مقطع  $747^{\circ}$  شاعع نشان داده شده است. در این مقطع، مقدار کمترین ضریب فشار به عدد کاوتاسیون می رسد. بنابراین در عدد کاوتاسیون شیوه سازی، مرزهای حفره را می توان تشخیص داد. برای اعتبارسنجی در مقطع  $880^{\circ}$  شاعع و همچنین نزدیک به از بین رفتن حفره، ضریب فشار برای مقطع  $880^{\circ}$  شاعع در شکل ۸ نشان داده شده است. چنان که مشاهده می شود، مرز پایانی حفره، طول (برابری) مقدار ضریب فشار با عدد کاوتاسیون داده شده برای این تحقیق، و مکان نزدیک به لبهی حمله در این نمودار مشخص است.

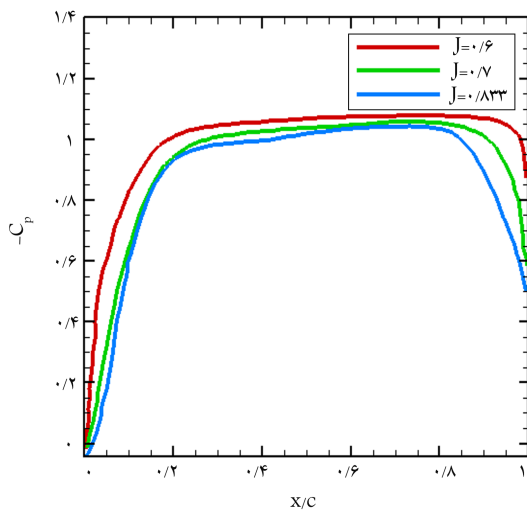
در شکل ۹ (نمودار حجم فاز بخار) محور افقی از صفر تا  $1^{\circ}$  به ترتیب لبهی فرار تا لبهی حمله نشان داده شده است. با توجه به این نمودار، به علت داشتن بیشترین مقدار حجم بخار، حدوداً مرکز حفره را می توان در مقطع  $747^{\circ}$  شاعع تشخیص داد. از آنجا که معیار شروع و وقوع کاوتاسیون فشار نقطه بی است، در مقطع  $613^{\circ}$  و  $747^{\circ}$  شاعع، بیشترین مقدار کسر حجمی (بیشترین قطر حفره) در محل  $866^{\circ}$  وتر، و به ترتیب برابر با  $313^{\circ}$ ،  $50^{\circ}$ ،  $389^{\circ}$  و  $880^{\circ}$  شاعع نیز بیشترین مقدار کسر حجمی فاز بخار در محل  $70^{\circ}$  وتر و برابر با  $234^{\circ}$  است.



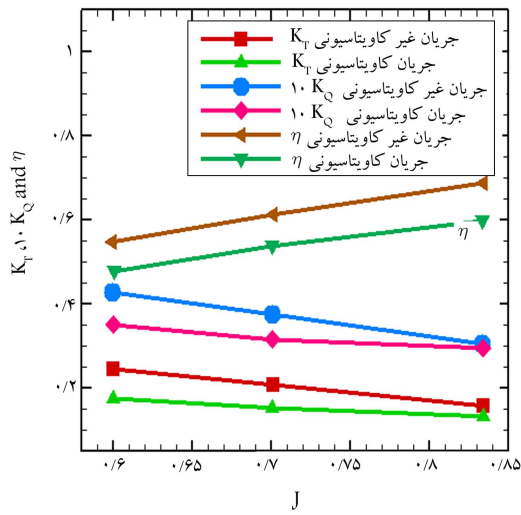
شکل ۵. کسر حجمی فاز بخار روی صفحات پشت پروانه.



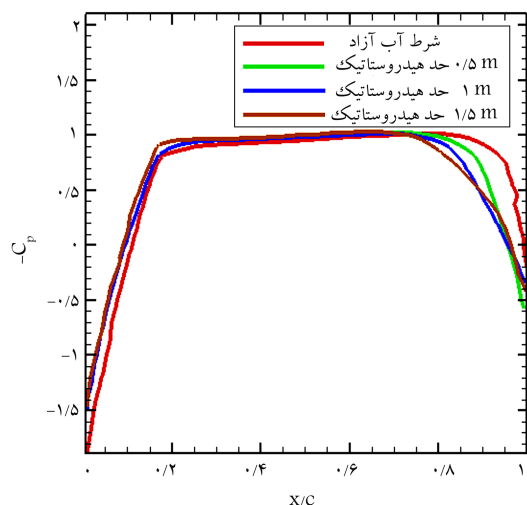
شکل ۶. توزیع ضریب فشار در مقطع  $613^{\circ}$  شاعع، برای ضریب پیشروی  $833^{\circ}$  و عدد کاوتاسیون  $2^{\circ}$ .



شکل ۱۰. توزیع ضریب فشار در جریان کاویتاسیونی برای مقطع  $0,747$  و عدد کاویتاسیون  $1,02$ .



شکل ۱۱. مقایسه‌ی نتایج ضرایب تراست، گشتاور و بازدهی سه شیوه‌سازی جریان غیر کاویتاسیونی در مقابل جریان کاویتاسیونی.



شکل ۱۲. توزیع ضریب فشار در جریان کاویتاسیونی برای مقطع  $0,747$ .

### ۲.۳. مطالعه‌ی پارامترهای مؤثر در کاویتاسیون

#### ۲.۳.۱. مطالعه‌ی اثر ضریب پیشروی

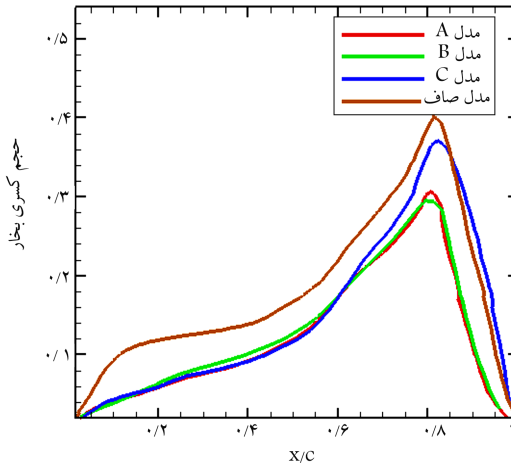
به منظور مطالعه‌ی اثر ضریب پیشروی برای شرایط بارگذاری سنگین، سه شیوه‌سازی انجام شده است. واضح است که ادامه‌ی افزایش بارگذاری همان‌طور که تقریباً به سمت نوک پره زیاد می‌شود قدرت گردابه‌ی نوک را نیز افزایش می‌دهد. برای تحقیق اثر ضریب پیشروی، سرعت پیشروی برای این تحقیق  $0,365$  متر بر ثانیه به ترتیب برای ضریب پیشروی‌های  $0,07$  و  $0,033$  است. در شکل ۱۰ نشان داده شده که در بارگذاری‌های بیشتر (ضریب پیشروی کمتر)، ناحیه‌ی تحت کاویتاسیون افزایش می‌یابد. با درنظرگیری سیر حرکت منحنی ضریب فشار در رسیدن به عدد  $1,02$ ، می‌توان نواحی توسعه‌ی حفره را در مقطع گفته شده مشاهده کرد. بنابراین، در مقطع  $0,747$ ، مزهای حفره به لبی حمله نزدیک‌تر می‌شود.

برای تبیین فیزیکی اثر افزایش سرعت در افزایش ضریب پیشروی و درنتیجه، کاهش شدت کاویتاسیون روی پره‌ها، می‌توان آن را معادل ثابت نگه داشتن سرعت ورودی و افزایش سرعت دورانی شفت پروانه در نظر گرفت. در این حالت، ضریب پیشروی کاهش می‌یابد و درنتیجه کاویتاسیون افزایش می‌یابد. با افزایش سرعت دورانی شفت، سرعت محلی روی سطح پره‌ها نیز افزایش می‌یابد و درنتیجه فشار نقطه‌ی کاهش می‌یابد؛ این نشانه‌ی مساعد شدن شرایط برای افزایش کاویتاسیون است. درنتیجه، افزایش سرعت دورانی منجر به افزایش سرعت محلی، کاهش فشار و نهایتاً افزایش پدیده‌ی کاویتاسیون می‌شود.

در شکل ۱۱ ضرایب عملکردی این پروانه در دو جریان غیر کاویتاسیونی و کاویتاسیونی نشان داده شده است. چنان که مشاهده می‌شود، با داشتن کاویتاسیون ضرایب کارکردی کاهش یافته و درنتیجه ضریب بازدهی کاهش یافته است. چنان که مشاهده می‌شود با افزایش ضریب پیشروی اختلاف بین این دو جریان کاهش یافته است و نشان می‌دهد که ضریب پیشروی طراحی در جریان کاویتاسیون هم خوب جواب داده است و نیز به سمت ضریب پیشروی‌های بزرگ‌تر، کاویتاسیون کمتر کاهش یافته است. نواحی نشان داده شده نشان‌گر تشید کاویتاسیون از ضریب پیشروی  $0,7$  به پایین است. به طور کلی، برای یک فوبل برای، در زاویه‌ی حمله کوچک و عدد کاویتاسیون متعادل، پدیده‌ی کاویتاسیون همیشه باعث کاهش برآ نمی‌شود، زیرا گسترش حفره یعنی رژیم کم فشار، به سمت پایین دست جریان کاهش برآ نزدیک بله‌ی حمله را جبران می‌کند. بنابراین، طول حفره‌های کوچک‌تر اغلب منجر به ضرایب برای کوچک‌تر می‌شود.

#### ۲.۳.۲. مطالعه‌ی اثر عمق

برای بررسی اثر عمق کاری پروانه روی کاویتاسیون لایه‌ی پره‌ها و مشخصات حفره، چهار شیوه‌سازی در ارتفاع‌های متفاوت انجام شد. در شکل ۱۲ ضریب فشار برای این چهار ارتفاع نشان داده شده است. ضریب فشار برحسب وتر در مقطع  $0,747$  برای چهار ارتفاع آب صفر،  $0,5$  و  $1,0$  متر ارائه شده است. در اولین نمودار، ارتفاعی برای این شیوه‌سازی در نظر گرفته نشده است. این شیوه‌سازی همان شرایط آزمون آزاد آب برای یک پروانه است که در اینجا می‌تواند مقیاسی برای عمق‌های دیگر باشد. چنان که در شکل ۱۲ مشاهده می‌شود با افزایش ارتفاع آب در بالای پروانه، طول حفره کم می‌شود، به طوری که برای ارتفاع آب صفر در محل  $10,37^{\circ}$  و تر، برای ارتفاع آب  $0,5$  متر در محل  $8,85^{\circ}$  و تر، برای ارتفاع آب  $1$  متر در محل  $7,78^{\circ}$  و تر، و برای ارتفاع آب  $1,05$  متر در محل  $7,24^{\circ}$  و تر ضریب



شکل ۱۴. حجم بخار در مقطع  $0,7$  ساعع در پشت پرده پروانه در جریان کاویتاسیونی، ضریب پیشروی  $1,02$  و عدد کاویتاسیون  $1,0^{\circ}$ .

صفر است. در صورتی که مدل C طول بیشتری نسبت به مدل صاف (بازگشت منحنی از محل  $0,9$  و تر شروع می‌شود) و مدل های A و B دارد (بازگشت منحنی ضریب فشار از محل  $0,9$  و تر شروع می‌شود). این تغییرات ضریب فشار بر اثر ارتفاع زبری می‌تواند حالت بهینه‌بی برای داشتن زبری پیشنهاد کند، چنان که محققین [۲۴] روی متأثر شدن کاویتاسیون با اندازه‌ی ذرات شن پیشنهاد کردند. بنابراین داشتن یک مقداری زبری شدت کاویتاسیون را روی پره کاهش می‌دهد. با تحقیق بیشتر می‌توان مدل های مناسب تر را برای کاربرد پروانه‌های دریابی پیدا کرد. در تبیین فیزیکی اثر زبری روی کاویتاسیون می‌توان وقوع آن را روی سطح زبر در پیک کم فشار دانست، مخصوصاً بوسیله‌ی نقاط کوچک کاویتاسیون. این نقاط آشکارا بواسطه‌ی المان‌های زبری ایجاد می‌شود و اندازه‌ی آنها از اندازه‌ی المان‌های زبری تجاوز می‌کند؛ این بدان معناست که متوسط فشار در بینون لایه‌ی مرزی نزدیک به فشار بخار است. درنتیجه می‌توان وقوع جدایش محلی در المان‌های زبری را محرك ایجاد کاویتاسیون دانست.

در شکل ۱۴ حجم فاز بخار روی مقطع  $0,7$  برای چهار مدل زبری صفر، مدل A، مدل B و مدل C نشان داده شده است. در این شکل، محور افقی از صفر تا  $1$  به ترتیب لبه‌ی فوار تا لبه‌ی حمله را نشان می‌دهد. این نمودار برای سه مقطع مقاومت بی بعد شده با طول و تر نشان داده شده است. در این شکل با افزایش زبری نسبت به مدل صاف، کاهش کسر حجمی فاز بخار را داریم. درنتیجه می‌توان تاحدودی زبری را پارامتری مفیدی برای کاهش کاویتاسیون دانست. کسر حجمی بخار مدل های A و B حدوداً به یک اندازه و برابر مقدارهای  $0,36$  و  $0,37$  است. همچنین منحنی مدل C تا حدود  $0,6$  و تر با مدل های A و B و حجم یکسانی را دارد که با مدل صاف (کسر حجمی آن برابر  $0,48$  است) کاملاً متفاوت است و دارای کسر حجمی  $0,44$  است.

#### ۴. نتیجه‌گیری

دو جریان غیر کاویتاسیونی و کاویتاسیونی حول پروانه‌ی DTMB<sup>۴۱۹</sup> با روش RANS و مدل انتقال جرم پیشنهادی سینگ‌هال [۲۵] شبیه‌سازی شد. برای اعتبارسنجی حل جریان غیر کاویتاسیونی از پارامترهای ضریب فشار، ترلاست، گشتاور و بازدهی استفاده شد. همچنین برای اعتبارسنجی حل جریان کاویتاسیونی از

فشار به مقدارهای بیشتر حرکت می‌کند. همچنین افزایش مقدار کمترین ضریب مرزی حفره در بیشترین مقدار عددی ضریب فشار از کمترین آن قرار دارد و از این نقطه، حفره رو به زوال می‌گذارد. علت فیزیکی افزایش ارتفاع آب که باعث کاهش شدت کاویتاسیون می‌شود را می‌توان افزایش فشار هیدرولستیک دانست که منجر به افزایش اختلاف فشار آن با فشار بخار و نیز افزایش عدد کاویتاسیون می‌شود که این نشان دهنده‌ی کاهش حفره و کسر حجمی فاز بخار آب روی پره هاست. برای تحقیقات بیشتر می‌توان اثر پارامترها را روی پدیده‌های کاویتاسیون گردابی نوک و هاب تحقیق کرد.

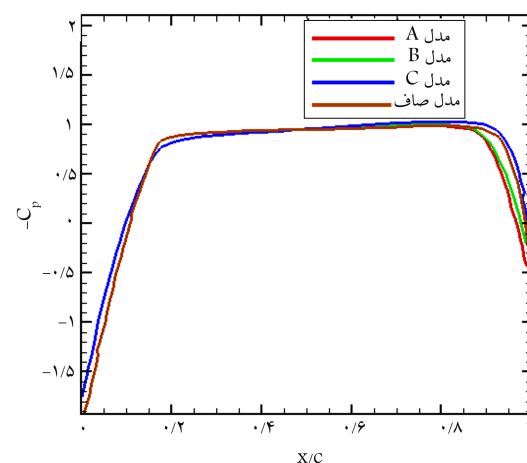
#### ۳.۲.۳. مطالعه‌ی اثر زبری

در این قسمت اثرات پارامتر زبری در ضریب پیشروی  $1,02$  با استفاده از تابع تعریف شده‌ی زبری که در قسمت معادلات حاکم ارائه شد مورد بررسی قرار گرفته است. با استفاده از این تابع، مقادیر تنش برشی، سرعت متوسط و مقادیر اغتشاشی در نزدیکی سطح پرآورد می‌شود. فرمول‌های پیشنهادی در این تحقیق [۲۵] مبتنی بر داده‌های نیکورادزه اتخاذ شده است. سه مدل ارائه شده توسط اندازگیری مقایسه‌کننده‌ی رایبرت [۲۶] در شبیه‌سازی زبری سطح پروانه کاربرد داشته است. در جدول ۳ مشخصات این چهار مدل ارائه شده است. در شکل ۱۳ توزیع فشار برای  $0,7$  ساعع در چهار مدل زبری صفر، مدل A، مدل B و مدل C در پشت پره نشان داده شده است. همچنین در شکل ۱۳ ضریب فشار برای چهار شبیه‌سازی زبری روی پره مقایسه شده است. چنان که مشاهده می‌شود، افزایش طول حفره با افزایش ارتفاع زبری رابطه دارد، به طوری که تطابق منحنی ضریب فشار در مقدار A برای مدل C بیشتر از سه مدل دیگر است. نکته‌ی دیگر این که مدل های A و B تاحدودی بر هم منطبق‌اند (بازگشت منحنی ضریب فشار از محل  $0,848$  و تر شروع می‌شود) در صورتی که ارتفاع زبری مدل B بیشتر از دو برابر مدل A است.

همچنین طول حفره برای مدل های A و B کمتر از مدل صاف (ارتفاع زبری

جدول ۳. ارتفاعهای سطح زبر برای چهار مدل شبیه‌سازی.

ارتفاع زبری (میکرومتر)	مدل صاف	مدل A	مدل B	مدل C
۱,۰۷	۰	۱,۴۲	۱,۶۷	۳,۱۷



شکل ۱۳. توزیع ضریب فشار در جریان کاویتاسیونی برای مقطع  $0,7$  و عدد کاویتاسیون  $1,02$ .

احتمال کاویتاسیون گردابی نوک پره کاہش می یابد. بنابرین در مورد این پارامتر، مانندگاری کاویتاسیون گردابی نوک پره بیشتر از کاویتاسیون لبه‌ی است که علت آن را می‌توان به شروع کاویتاسیون گردابی از نوک و گسترش آن به لبه‌ی پره دانست.

-- نتایج بررسی پارامتر زبری سطح پروانه: با افزایش مقدار زبری سطح پروانه، می‌توان مدل‌های بهینه‌ی را پیدا کرد. مدل‌های A و B مساحت کاویتاسیون کمتری نسبت به سطح صاف نشان می‌دهند، در صورتی که در مدل C مساحت کاویتاسیونی افزایش یافته است. با افزایش مقدار زبری سطح رو به افزایش می‌گذارد. در این مورد هم مدل‌های A و B نتایج یکسانی داشته‌اند. به علاوه مساحت تحت کاویتاسیون نسبت به مدل صاف کاہش یافته و برای هر مدل زبری تقریباً ثابت می‌ماند. با افزایش مقدار زبری سطح پروانه، مقدارهای کسر حجمی فاز بخار روی وتر تا حدود ۶٪ مقدار ثابتی است اما قله‌ی حفره برای مدل C افزایش می‌یابد.

ضریب فشار در سه مقطع استفاده شد. با استفاده از پارامتر ضریب فشار، مکان یابی حفره و محدوده‌ی مرزهای آن انجام شد. کشیدگی طولی حفره در نزدیکی لبه‌ی حمله در محل‌های ۰,۶۱۳، ۰,۷۴۷ و ۰,۸۸ و تر نشان داده شد. برای بررسی پارامترهای مؤثر در شدت کاویتاسیون، شبیه‌سازی‌های جریان کاویتاسیونی با رعایت اثر هر پارامتر خاص به‌طور جداگانه انجام شد که نتایج حاصله عبارت‌اند از:

-- نتایج بررسی پارامتر ضریب پیشروی: با افزایش ضریب پیشروی ناحیه‌ی کاویتاسیونی افزایش می‌یابد و محدوده‌ی حفره (مرزهای آن) بزرگ می‌شود. به علاوه، درین ضرایب پیشروی ۰,۸۲۳ و ۰,۷۵۰ نتایج مساحت حفره نسبت به ضریب پیشروی ۰,۶ کم‌تر است و کاہش آن تا مقدار ۰,۶ مرزهای حفره افزایش چشم‌گیری داشته است.

-- نتایج بررسی پارامتر عمق آب بالای محور پروانه: با افزایش عمق آب، مساحت حفره کاہش می‌یابد. همچنین، مرکز حفره از لبه‌ی حمله پره فاصله می‌گیرد و

## پانوشت‌ها

1. laser Doppler Velocimetry
2. span
3. viscous/inviscid interaction
4. rotor and stator
5. large eddy simulation (LES)
6. volume-of-fluid (VOF)
7. Rayleigh-Plesset
8. upwind

## منابع (References)

1. Wright, M.M., Epps, B., Dropkin, A. and Truscott, T.T. "Cavitation of a submerged jet", *Experiments in Fluids*, **54**(6), pp. 1-21 (2013).
2. Hattori, Sh., Taruya, K., Kikuta, K. and Tomaru, H. "Cavitation erosion of silver plated coatings considering thermodynamic effect", *Wear*, **300**(1-2), pp. 136-143 (2013).
3. Lee, H., Taenaka, Y. and Kitamura, S. "Mechanism for cavitation in the mechanical heart valve with an artificial heart: Nuclei and viscosity dependence", *Artificial Organs*, **29**(1), pp. 41-47 (2005).
4. Mohammad noori, M., Riahi, M. and Valipour, A. "Using perturbation method to obtain scaled numerical model for analyzing noise of supercavitation", *Modares Mechanical Eng. Journal*, **12**(5), pp. 146-153 (1391).
5. Kinns, R., Thompson, I., Kessissoglou, N. and Tso, Y. "Hull vibratory forces transmitted via the fluid and the shaft from a submarine propeller", *Ships and Offshore Structures*, **2**(2), pp. 183-189 (2007).
6. Paik, B.G., Kim, K.S., Kim, K.Y., Ahn, J.W., Kim, T.G., Kim, K.R., Jang, Y.H. and Lee, S.U. "Test method of cavitation erosion for marine coatings with low hardness", *Ocean Eng.*, **38**(13), pp. 1495-1503 (2011).
7. Ye, J.M. and Xiong, Y. "Prediction of podded propeller cavitation using an unsteady surface panel method", *J. of Hydrodynamics, Ser. B*, **20**(6), pp. 790-797 (2008).
8. Kanemaru, T. and Ando, J. "Numerical analysis of cavitating propeller and pressure fluctuation on ship stern using a simple surface panel method "SQCM", *J. of Marine Sc. and Tech.*, **18**(3), pp. 294-309 (2013).
9. Behbahani-nejad, M. and Changizian, M., Reduced-order modeling of unsteady partial cavity flows using the boundary element method", *Modares Mechanical Eng. Journal*, **13**(6), pp. 140-152 (1392).
10. Lee, H. and Kinnas, S.A. "Application of a boundary element method in the prediction of unsteady blade sheet and developed tip vortex cavitation on marine propellers", *J. of Ship Research*, **48**(1), pp. 15-31 (2004).
11. Lee, H.S. and Kinnas, S.A. "A BEM for the modeling of unsteady propeller sheet cavitation inside of a cavitation tunnel", *Computational Mechanics*, **37**(1), pp. 41-52 (2005).
12. Young, Y.L. and Kinnas, S.A. "Analysis of supercavitating and surface-piercing propeller flows via BEM", *Computational Mechanics*, **32**(4-6), pp. 269-281 (2003).
13. Liu, Y., Zhao, P.F., Wang, Q. and Chen, Z.H. "URANS computation of cavitating flows around skewed propellers", *J. of Hydrodynamics*, **24**(3), pp. 339-347 (2012).
14. Jessup, S.D. "An experimental investigation of viscous aspects of propeller blade flow", PhD Thesis, The Catholic University of America, Washington DC (1989).
15. Sun, H. "Performance prediction of cavitating propulsors using a viscous/inviscid interaction method", PhD Thesis, The University of Texas at Austin, Austin (2008).
16. Ji, B., Luo, X.W., Wu, Y.L., Liu, S.H., Xu, H.Y. and Oshimab, A. "Numerical investigation of unsteady cavitat-

- ing turbulent flow around a full scale marine propeller”, *J. of Hydrodynamics*, **22**(5), pp. 747-753 (2010).
17. Zhu, Z.F., Fang, S.L. and Wang, X.Y. “Characteristic analysis of unsteady viscous flow around a cavitating propeller”, *Science China Technological Sciences*, **53**(7), pp. 1983-1993 (2010).
  18. Zwart, P.J., Gerber, A.G. and Belamri, T. “A two-phase flow model for predicting cavitation dynamics”, *International Conference on Multiphase Flow*, Yokohama, Japan (2004).
  19. Ji, B., Luo, X., Peng, X., Wu, Y. and Xu, H. “Numerical analysis of cavitation evolution and excited pressure fluctuation around a propeller in non-uniform wake”, *International J. of Multiphase Flow*, **43**, pp. 13-22 (2012).
  20. Zhang, L.X. and Khoo, B.C. “Computations of partial and super cavitating flows using implicit pressure-based algorithm (IPA)”, *Computers & Fluid*, **73**, pp. 1-10 (2013).
  21. Yang, Q.F., Wang, Y.Sh. and Zhang, Z.H. “Scale effects on propeller cavitating hydrodynamic and hydroacoustic performances with non-uniform inflow”, *Chinese J. of Mech. Eng.*, **26**(2), pp. 414-427 (2013).
  22. Lu, N.X., Bensow, R.E. and Bark, G. “Large eddy simulation of cavitation development on highly skewed propellers”, *Journal of Marine Science and Technology*, **19**(2), pp. 197-214 (2014).
  23. Lee, K., Lee, J., Kim, D., Kim, K. and Seong, W. “Propeller sheet cavitation noise source modeling and inversion”, *Journal of Sound and Vibration*, **333**(5), pp. 1356-1368 (2014).
  24. Singhal, A.K., Athavale, M.M., Li, H. and Jiang, Y. “Mathematical basis and validation of the full cavitation model”, *ASME J. Fluids Eng.*, **124**(3), pp. 617-62 (2002).
  25. Franc, L.P. and Michel, J.M., *Fundamentals of Cavitation*, Kluwer Academic Publishers, New York (2005).
  26. Batchelor, G.K., *An Introduction to Fluid Dynamics*, Cambridge Univ. Press, Cambridge, England (1967).
  27. Launder, B.E. and Spalding, D.B., *Lectures in Mathematical Models of Turbulence*, Academic Press, London, England (1972).
  28. Kim, S., Choi, Ch., Kim, J., Park, J. and Baek, J. “Tip clearance effects on cavitation evolution and head breakdown in turbopump induce”, *J. of Propulsion and Power*, **29**(6), pp. 1357-1366 (2013).
  29. Kellett, P., Turan, O. and Incecik, A. “A study of numerical ship underwater noise prediction”, *Ocean Eng.*, **66**, pp. 113-120 (2013).
  30. Yue, Ch., Guo, Sh. and Shi, L. “Hydrodynamic analysis of the spherical underwater robot SUR-II”, *International J. of Advanced Robotic Sys*, **10**, pp. 1-12 (2013).
  31. Launder, B.E. and Spalding, D.B. “The numerical computation of turbulent flows”, *Computer Methods in Applied Mechanics and Eng.*, **3**, pp. 269-290 (1974).
  32. Coutier-Delgosha, O., Deniset, F., Astolfi, J.A. and Leroux, J.B. “Numerical prediction of cavitating flow on a two-dimensional symmetrical hydrofoil and comparison to experiments”, *ASME J. Fluids Eng.*, **129**(3), pp. 279-292 (2007).
  33. Barth, T.J. and Jespersen, D. “The design and application of upwind schemes on unstructured meshes”, AIAA 27th Aerospace Sciences Meeting, Reno, Nevada (1989).
  34. Carlton, J., *Marine Propeller and Propulsion*, 2nd e., Elsevier Ltd, USA (2007).
  35. Cebeci, T. and Bradshaw, P., *Momentum Transfer in Boundary Layers*, Hemisphere Publishing Corporation, Washington D.C. (1977).
  36. Ghassemi, H. “A study on hydrodynamic analysis of propellers and cavitation prediction of hydrofoils by the application of surface panel method”, PhD Thesis, Yokohama National University, Yokohama, Japan (1997).
  37. Villa, D., Gaggero, S. and Brizzolara, S. “RANS and PANEL method for unsteady flow propeller analysis”, *9th International Conference on Hydrodynamics*, Shanghai, China (2010).
  38. Bertetta, D., Brizzolara, S., Canepa, E., Gaggero, S. and Viviani, M. “EFD and CFD characterization of a CLT propeller”, *International J. of Rotating Machinery*, **2012**, pp. 1-22 (2012).
  39. Wu, J.H. and Gou, W.J. “Critical size effect of sand particles on cavitation damage”, *J. of Hydrodynamics, Ser. B*, **25**(1), pp. 165-167 (2013).